

# بررسی خواص الکترومغناطیسی و جذب مایکروویو هگزافریت نوع Z با جانشانی روی

ژینت میرزا<sup>۱</sup>، محمد جزیره‌پور<sup>۲\*</sup>، احمد پورباfrانی<sup>۳</sup>

۱- دانشجوی کارشناسی ارشد، علوم و فناوری نانو (نانوفیزیک)، دانشگاه صنعتی مالک اشتر، ایران.

۲- استادیار، دانشکده الکتروسراام و مهندسی برق، دانشگاه صنعتی مالک اشتر، ایران.

۳- پژوهشگر، دانشکده الکتروسراام و مهندسی برق، دانشگاه صنعتی مالک اشتر، ایران.

\*عهده‌دار مکاتبات: Jazirehpour@mut-es.ac.ir

(تاریخ دریافت: ۱۳۹۸/۰۴/۳۰، تاریخ پذیرش: ۱۳۹۸/۰۷/۲۱)

**چکیده:** در این پژوهش اثر جانشانی مقادیر مختلفی از کاتیون روی (Zn) بر خواص الکترومغناطیسی و جذب مایکروویو هگزافریت باریم نوع Z با ترکیب شیمیایی  $Ba_3Co_{2-x}Zn_xFe_{24}O_{41}$  ( $x=1/4, 2/3, 1/2, 1/10$ ) تولید شده به روش آسیاب کاری پرانرژی مورد مطالعه قرار گرفت. جهت بررسی و تایید تشکیل فاز هگزافریت باریم نوع Z در شرایط سنتز به کار رفته از روش پراش پرتوایکس (XRD) استفاده شد. خواص مغناطش مجموعه ترکیبات تولید شده توسط مغناطیس سنج گردیان نیروی متناوب (AGFM) مطالعه گردید و مشاهده شد که با اعمال جانشانی در ترکیب موردنظر مقدار مغناطش بیشته افزایش می‌یابد، به طوری که از مقدار  $67 \text{ emu/g}$  برای نمونه‌ی بدون جانشانی به  $84 \text{ emu/g}$  برای ترکیب  $Ba_3Co_{1.2}Zn_{0.8}Fe_{24}O_{41}$  در بیشترین مقدار خود می‌رسد. همچنین ضرایب گذردهی الکتریکی و نفوذپذیری مغناطیسی مختلط نمونه‌ها، توسط تحلیل گر برداری شبکه (VNA) مورد مطالعه قرار گرفت. با استفاده از ضرایب اندازه‌گیری شده، نمودارهای تلفات انعکاسی ترسیم شد. نتایج حاصل از نمودارهای تلفات انعکاسی (RL) نشان داد که به طور میانگین بیشترین پهنای باند جذب در بین نمونه‌ها در محدوده فرکانسی  $4-8 \text{ GHz}$  رخ داده است. بهترین کیفیت جذب (منفی ترین تلفات انعکاسی) به میزان  $-47 \text{ dB}$  و در فرکانس  $7 \text{ GHz}$  برای نمونه‌ی با شاخص جانشانی  $x=1/3$  مشاهده گردید.

**واژه‌های کلیدی:** آسیاب کاری، جذب مایکروویو، گذردهی الکتریکی، نفوذپذیری مغناطیسی، هگزافریت نوع Z

به عنوان یون دو ظرفیتی (Me) استفاده شود این هگزافریت نسبت به فریت‌های خانواده اسپینل نفوذپذیری مغناطیسی بالاتری در محدوده فرکانسی گیگاهرتز خواهد شد. لذا این هگزافریت‌ها به منظور جاذب امواج الکترومغناطیسی با پهنای باند گستردۀ در این محدوده فرکانسی قابل استفاده هستند [۴]. هگزافریت‌های نوع Z دارای نفوذپذیری مغناطیسی بالا، رزونانس فرومغناطیسی بین  $1/5-3/4 \text{ GHz}$ ، پایداری حرارتی بالا و دمای کوری بالاتر از  $400^\circ\text{C}$  هستند. خواص الکترومغناطیسی فریت‌ها، از جمله مغناطش اشباع، مقاومت، گذردهی الکتریکی و نفوذپذیری مغناطیسی را با

## ۱- مقدمه

امروزه با گسترش کاربرد امواج الکترومغناطیسی به‌ویژه امواج مایکروویو مسئله‌ی تداخل امواج الکترومغناطیسی و آلودگی‌های الکترومغناطیسی باعث به وجود آمدن مشکلاتی برای بشر شده است. لذا تحقیقات بر روی مواد سد کننده و جاذب‌های امواج الکترومغناطیسی همواره رو به گسترش بوده است [۱-۳]. هگزافریت نوع Z با ساختار هگزاگونال و ترکیب شیمیایی  $Ba_3Me_2Fe_{24}O_{41}$  یکی از مواد دارای قابلیت جذب امواج مایکروویو به حساب می‌آید (Me یک یون دو ظرفیتی می‌تواند باشد). اگر در ساختار فوق از یون کمالت

الکتریکی برای ترکیب  $Ba_3Co_{2-x}Zn_xFe_{24}O_{41}$  به ازا مقادیر مختلف جانشانی در محدوده فرکانسی  $1\text{--}18\text{ GHz}$  قابل نمونه های کامپوزیتی زمینه پارافین بررسی خواهد شد. انتظار می رود با انجام این جانشانی خواص مغناطیش و خواص الکترومغناطیسی این هگرافیت شامل نفوذپذیری مغناطیسی و گذردهی الکتریکی به نحوی تنظیم شود که شرایط این ترکیبات را برای کاربری جذب در فرکانس های مایکروویو مناسب تر نماید.

## ۲- مواد و روش تحقیق

در این تحقیق، فرآوری و مخلوط سازی مواد اولیه تولید هگرافیت نوع Z با ترکیب  $Ba_3Co_{2-x}Zn_xFe_{24}O_{41}$  به ازا مقادیر  $x=0.1, 0.2, 0.3, 0.4, 0.5$ ، با استفاده از دستگاه آسیاب انرژی بالا (SPEX 12000D) انجام شد. مواد اولیه مورداستفاده شامل  $ZnO$ ،  $Co_2O_3$ ،  $BaCO_3$ ،  $Fe_2O_3$  و همگی دارای خلوص آزمایشگاهی و محصول شرکت مرک آلمان بوده اند. این مواد مطابق فرمول شیمیایی فوق الذکر به ازا مقادیر مختلف  $x$  توزین شدند و سپس تحت اتانول و به کمک گلوله های ۱ سانتی متری با نسبت پودر به گلوله ۱:۱، در داخل آسیاب انرژی بالا به مدت ۱ ساعت مخلوط شدند. بعد از این مرحله پس از خشک سازی دوغاب حاصل از آسیاب کاری (حذف اتانول)، پودر حاصل به مدت ۴ ساعت در کوره در دمای  $1270^\circ C$  کلسینه شد تا فاز موردنظر یعنی هگرافیت نوع Z به دست آید. پودرهای فریت کلسینه شده با ۲۰ درصد وزنی پارافین ترکیب شده و سپس به شکل تورونید با قطر داخلی ۳ mm، قطر خارجی ۷ mm و ضخامت ۲ mm درآمدند. خواص جذب مایکروویو نمونه های VNA تهیه شده توسط دستگاه تحلیل گر برداری شبکه (Agilent/HP 8722ES) اندازه گیری شد. همچنین ساختار فازی نمونه ها به وسیله دستگاه پراش سنج اشعه ایکس (XRD Philips X' Pert Pro) و مورفولوژی آنها توسط میکروسکوپ الکترونی روبشی (Hitachi S-4800 FESEM) بررسی شد.

جانشانی یون های دو ظرفیتی و سه ظرفیتی می توان کنترل کرد [۵]. نفوذپذیری مغناطیسی فریت ها نه تنها به ترکیب شیمیایی بلکه به ریزساختار آنها از قبیل اندازه دانه، تخلخل و منافذ بین و درون دانه ای بستگی دارد [۶].

تحقیقات گسترده ای برای کنترل خواص الکترومغناطیسی هگرافیت های نوع Z به منظور بهبود خواص جذب مایکروویو آنها انجام شده است. بر این اساس گزارش شده است که جانشانی La در هگرافیت نوع Z باعث افزایش نفوذپذیری مغناطیسی و درنتیجه افزایش تلفات در محدوده فرکانسی  $2\text{--}18\text{ GHz}$  شده است. همچنین از تأثیرات این emu/g  $48/68$  و کاهش نیروی وادارندگی تا مقدار  $41/0.5\text{ Oe}$  اشاره کرد [۷].

جانشانی یون Ti به جای Fe در ترکیب هگرافیت نیز بررسی شده است و نتایج نشان می دهند این ترکیب که دارای ناهمسانگردی صفحه C می باشد، با این جانشانی میدان ناهمسانگردی  $H_{0\text{ max}}^{\mu}$  در آن افزایش می یابد [۸]. در پژوهشی دیگر که توسط ژانگ و همکارانش انجام شده، با جانشانی Zn در ترکیبی به صورت  $Ba_3Co_{2(10.8-x)}Zn_{2x}Cu_{0.4}Fe_{24}O_{41}$  مقدار نفوذپذیری مغناطیسی افزایش و دمای پخت کاهش پیدا کرده است [۹]. به علاوه انجام جانشانی یون Dy به جای Fe در ساختار این هگرافیت و بررسی خواص آن در محدوده  $1\text{ GHz}$  تا  $1\text{ MHz}$  نشان داده است که با افزایش میزان جانشانی، در ابتدا نفوذپذیری افزایش و سپس با افزایش بیشتر میزان جانشانی، کاهش می یابد [۱۰].

با وجود گزارشات متعدد در رابطه با بررسی خواص الکترومغناطیسی هگرافیت های نوع Z با توجه به یافته های نگارندگان این مقاله، اکثر پژوهش های انجام شده به بررسی خواص الکترومغناطیسی هگرافیت های نوع Z به صورت قطعات بالک غیر کامپوزیتی و تنها در محدوده های فرکانسی کمتر از یک گیگاهرتز پرداخته اند [۱۱-۱۵]. به طور مشخص ضرایب الکترومغناطیسی هگرافیت های نوع Z به ندرت در بازه فرکانسی مایکروویو مورد مطالعه قرار گرفته است. در این مقاله تغییرات ضرایب نفوذپذیری مغناطیسی و گذردهی

ساخترار بلواری هگزافریت‌ها شامل جایگاه‌های شبکه‌ای چهار، پنج و هشت‌وجهی می‌باشد. خواص مغناطیسی از جمله دمای کوری، مغناطش اشباع و ناهمسانگردی مغناطیسی به شدت تحت تأثیر توزیع یون‌های فلزی در جایگاه‌های شبکه‌ای است [۱۶]. در جدول (۱) نوع جایگاه، بلوک، تعداد یون در هر مولکول و جهت گیری‌های اسپین موجود در فریت باریم نوع Z بیان شده است.

جدول (۱): نوع جایگاه، بلوک، تعداد یون در هر مولکول و

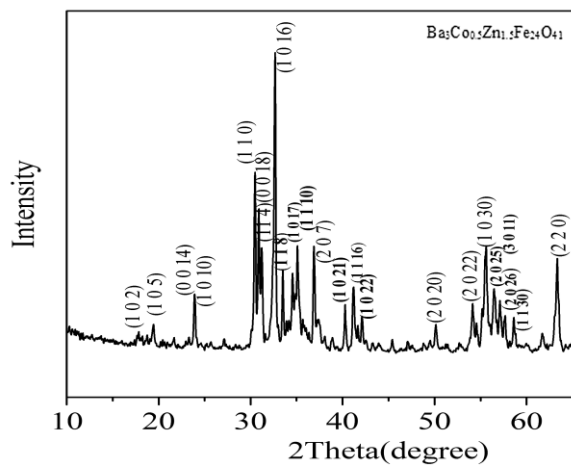
جهت گیری‌های اسپینی در فریت باریم نوع Z [۱۴].

|     |       | تعداد یون در مولکول | نوع جایگاه | ذیروجی شبکه                    |
|-----|-------|---------------------|------------|--------------------------------|
| R-S | بالا  | ۶                   | هشت‌وجهی   | 12k <sub>VI</sub>              |
| R   | بالا  | ۱                   | پنج‌وجهی   | 2d <sub>V</sub>                |
| R   | پایین | ۲                   | هشت‌وجهی   | 4f <sub>VI</sub>               |
| T   | پایین | ۲                   | هشت‌وجهی   | 4e <sub>VI</sub>               |
| S   | پایین | ۲                   | چهاروجهی   | 4e <sub>IV</sub>               |
| S   | پایین | ۲                   | چهاروجهی   | 4f <sub>IV</sub>               |
| T   | پایین | ۲                   | چهاروجهی   | 4f <sup>*</sup> <sub>IV</sub>  |
| S   | بالا  | ۲                   | هشت‌وجهی   | 4f <sup>*</sup> <sub>VI</sub>  |
| T-S | بالا  | ۶                   | هشت‌وجهی   | 12k <sup>*</sup> <sub>VI</sub> |
| T   | بالا  | ۱                   | هشت‌وجهی   | 2a <sub>VI</sub>               |

با توجه به گزارشاتی در منابع [۱۷-۱۶] که ساختار هگزافریت نوع Z را با استفاده از روش طیف‌سنگی موزبائر مورد مطالعه قرار داده‌اند می‌توان به این جمع‌بندی رسید که یون‌های Zn عمدتاً قرارگیری در جایگاه‌های چهاروجهی 4f<sub>IV</sub> و 4f<sup>\*</sup><sub>IV</sub> و 4f<sub>VI</sub> را ترجیح می‌دهند [۱۷-۱۶]. از آنجاکه جایگاه‌های مورداشاره همگنی دارای اسپین پایین هستند، سهم اسپین‌های پایین در مغناطش کل کاهش می‌یابد و این امر باعث افزایش مغناطش خالص می‌شود؛ در حالی که یون Co در چنین ترکیبی تمايل به اشغال جایگاه 12k<sub>VI</sub> در

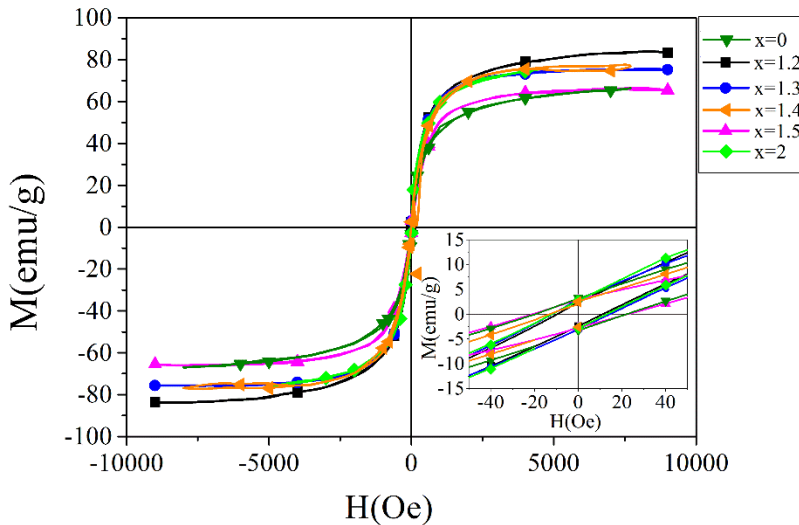
### ۳- نتایج و بحث

شکل (۱) الگوی XRD مربوط به پودرهای هگزافریت باریم نوع Z دارای جانشانی Zn را (به عنوان یک بررسی موردنی، ترکیب با فرمول شیمیایی  $Ba_3Co_{0.5}Zn_{1.5}Fe_{24}O_{41}$ ) نشان می‌دهد که در دمای  $1270^{\circ}C$  کلسینه شده است. الگوی مربوط به نمونه‌ی موردنبررسی با کارت استاندارد "۰۰-۰۹۷-۰۰۹۰" مطابقت دارد و تشکیل فاز هگزافریت نوع Z را به خوبی تایید می‌کند.



شکل (۱): الگوی XRD مربوط به هگزافریت نوع Z با جانشانی روی.

ویژگی‌های مغناطیسی سری ترکیبات  $Ba_3Co_{2-x}Zn_xFe_{24}O_{41}$  با استفاده از دستگاه مغناطیس‌سنج با گرادیان نیروی متغیر (AGFM) اندازه‌گیری شد. منحنی‌های پسماند نمونه‌ها در حالت پودری و در یک میدان بیشینه ۹۰۰۰ Oe موردنبررسی قرار گرفت. در شکل (۲) مشاهده می‌گردد با اعمال جانشانی در ترکیب موردنظر مقدار مغناطش بیشینه افزایش می‌یابد. به طوری که از مقدار ۶۷ emu/g برای نمونه‌ی بدون جانشانی به ۸۴ emu/g برای ترکیب با شاخص جانشانی  $x=1/2$  در بیشترین مقدار خود می‌رسد.



شکل (۲): حلقه پسماند هگرافیت نوع Z با ترکیب  $Ba_3Co_{2-x}ZnxFe_{24}O_{41}$  به ازا مقادیر مختلف جانشانی

x‌های مختلف نشان می‌دهد و مشاهده می‌شود که با انجام جانشانی میزان  $H_c$  در نمونه‌های حاوی جانشانی Zn نسبت به نمونه‌ی بدون جانشانی ( $x=0$ ) کاهش یافته است.  $H_c$  از طرفی به اندازه ذرات و از طرف دیگر به ناهمسانگردی مغناطوبلووری و مغناطش اشباع وابسته است. رابطه‌ی زیر چگونگی این ارتباط را نشان می‌دهد [۱۹]:

$$H_c = 0.48 \left[ \frac{K_1}{M_s} - N_d M_s \right] \quad (1)$$

در این رابطه  $K_1$  ثابت ناهمسانگردی مغناطوبلووری،  $M_s$  مغناطش اشباع و  $N_d$  عامل وامغناطش (پارامتری مربوط به مورفولوژی و ابعاد ذرات) است. با توجه به فرآیند یکسان به کار رفته در تولید نمونه‌ها و بررسی‌هایی که توسط میکروسکوپ الکترونی روبشی انجام گرفت می‌توان اذعان کرد که در این نمونه‌ها تفاوت چندانی در اندازه ذرات (ابعاد متوسط ذرات در کلیه نمونه‌ها بین ۱۰ تا ۲۰ میکرون بوده است) وجود ندارد و لذا عامل کاهش نیروی وادارندگی تغییرات ابعادی ذرات نیست. بلکه به نظر می‌رسد برآیند تغییرات ثابت ناهمسانگردی تحت تأثیر تغییرات ابعادی تحمیل شده به یاخته واحد شبکه بلوری فریت در اثر ورود اتم‌های Zn به ساختار و نیز تغییرات مغناطش خالص فریت مذکور تحت تأثیر تغییر مکان‌های مرجع جایگیری اتم‌های Zn با تغییرات درصد جانشانی در این رابطه مؤثر است.

بلوک R-S با اسپین بالا و همچنین جایگاه 4f<sub>VI</sub> در بلوک R و جایگاه هشت‌وجهی 4e<sub>VI</sub> در بلوک T با اسپین پایین را دارد که باعث افزایش سهم اسپین‌های بالا و درنتیجه افزایش مغناطش خالص می‌شود [۱۶]. به همین دلیل این انتظار می‌رود که با جانشانی یون Zn در این ساختار، مغناطش اشباع نسبت به حالت بدون جانشانی افزایش یابد. چنانچه در شکل ۲ قابل مشاهده است، با افزایش میزان x مقادیر مغناطش بیشینه به طور منظم تغییر نکرده است. اشغال جایگاه‌های شبکه به روش سنتز مواد و همچنین مقدار جانشانی یون‌ها بستگی دارد [۱۸]. جایگاه‌های مرجح برای کاتیون روی پیش‌تر ذکر شد ولی اگر شرایط سنتز به گونه‌ای مناسب باشد که عمدۀ یون‌های جانشانی بتوانند به درون شبکه وارد شوند با افزایش درصد جانشانی و اشباع شدن جایگاه‌های ترجیحی اولیه کاتیون‌های روی ممکن بی جایگاه‌هایی با اولویت ترجیح کتمر نیز وارد شوند. لذا جایگیری کاتیون‌های روی به ازا جانشانی‌های مختلف در جایگاه‌های متفاوت ممکن است سبب تغییرات نامنظم در مغناطش بیشینه شده باشد. تعیین چگونگی اشغال جایگاه‌های شبکه و انجام بحث مفصل و دقیق در این رابطه مستلزم مطالعات طیف‌سنجی موزبائی است که در پژوهش حاضر به آن پرداخته نمی‌شود.

جدول ۲ مقادیر مغناطش بیشینه ( $M_{9000\text{Oe}}$ ) و نیروی وادارندگی (H<sub>c</sub>) ترکیب  $Ba_3Co_{2-x}ZnxFe_{24}O_{41}$  را به ازا

لذا با توجه به اینکه فرکانس قله‌های مذکور با تغییر ترکیب شیمیایی نمونه‌ها جایه‌جا شده است، به نظر می‌رسد منشأ قله‌های موربد بحث پدیده رزونانس فرومغناطیسی است [۵]. رزونانس فرمغناطیسی به طور مستقیم با میدان ناهمسانگردی در ارتباط است که این رابطه به صورت زیر قابل‌بیان است

:[۶]

$$f_R = \frac{1}{2\pi} \gamma (H_\theta H_\varphi)^{1/2} \quad (1)$$

که در این رابطه  $\gamma$  نسبت ژرمغناطیسی،  $H_\theta$  میدان ناهمسانگردی خارج صفحه و  $H_\varphi$  میدان ناهمسانگردی درون صفحه است. بنابراین بر طبق رابطه (۱) و با توجه به منحنی نفوذپذیری مغناطیسی موهومی، می‌توان نتیجه گرفت افزایش میزان جانشانی می‌تواند باعث افزایش میدان ناهمسانگردی شود، به‌تبع آن فرکانس رزونانس فرمغناطیسی افزایش می‌یابد.

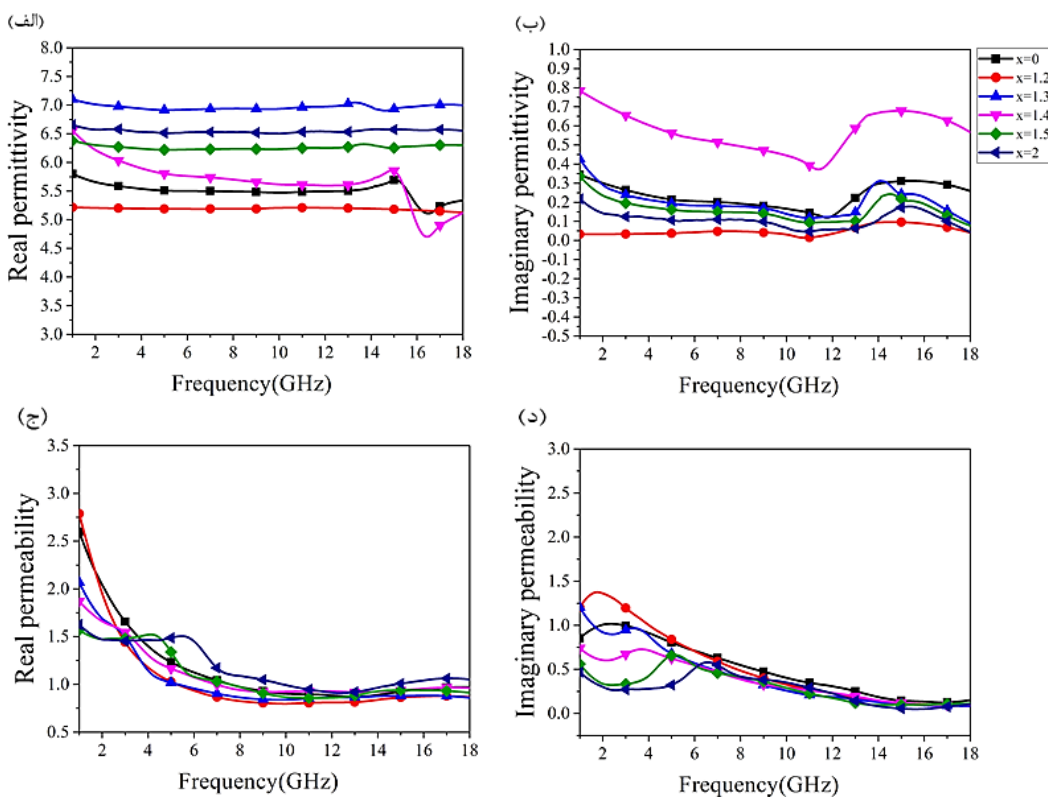
به‌طور کلی فریت‌های هگزاگونال دارای دو نوع ناهمسانگردی هستند. ناهمسانگردی محور C و ناهمسانگردی صفحه‌ی C، که به ترتیب با مغناطش آسان در طول محور C و صفحه‌ی C در ارتباط هستند. بر اساس گزارشات موجود در منابع، در طیف نفوذپذیری برخی ترکیبات مغناطیسی دو قله قابل مشاهده است که قله مشاهده شده در فرکانس پایین-تر به رزونانس دیواره‌ی حوزه و دیگری به رزونانس فرمغناطیسی ارتباط داده شده است [۵ و ۷]، که بر اساس گزارشات، پدیده‌ی رزونانس دیواره حوزه غالباً تنها در فرکانس‌های رادیویی قابل مشاهده است [۱۷]، به این ترتیب به نظر می‌رسد در طیف نفوذپذیری مغناطیسی موهومی نمونه‌های مورد مطالعه در پژوهش حاضر، تنها قله قابل مشاهده در هر یک از طیف‌های نفوذپذیری مغناطیسی موهومی را می‌توان به پدیده‌ی رزونانس فرمغناطیسی مرتبط دانست.

جدول (۲): مقادیر مغناطش بیشینه و نیروی واداره‌نگری ترکیب

Ba<sub>3</sub>Co<sub>2-x</sub>Zn<sub>x</sub>Fe<sub>24</sub>O<sub>41</sub> را به ازای Xهای مختلف

| X <sub>90000e</sub> (emu/g) | H <sub>c</sub> (Oe) | شاخص جانشانی |
|-----------------------------|---------------------|--------------|
| X=۰                         | ۶۶/۸۸               | ۲۳/۰۰        |
| X=۱/۲                       | ۸۴/۴۰               | ۱۱/۵۰        |
| X=۱/۳                       | ۷۵/۸۶               | ۱۵/۰۰        |
| X=۱/۴                       | ۷۷/۶۵               | ۱۳/۰۰        |
| X=۱/۵                       | ۶۶/۷۲               | ۲۲/۰۰        |
| X=۱                         | ۷۷/۱۲               | ۱۳/۵۰        |

نفوذپذیری مغناطیسی و گذردهی الکتریکی حقیقی و موهومی نمونه‌ها به ازای مقادیر مختلف جانشانی در ترکیب GHz در محدوده‌ی فرکانسی Ba<sub>3</sub>Co<sub>2-x</sub>Zn<sub>x</sub>Fe<sub>24</sub>O<sub>41</sub> ۱-۱۸ اندازه‌گیری گردید (شکل ۴). بر اساس منحنی‌های رسم شده (شکل ۴ -الف و ب)، منحنی تغییرات گذردهی الکتریکی حقیقی و موهومی بر حسب فرکانس با تغییر میزان جانشانی تغییرات چشمگیری ندارد و به ترتیب به ازای مقادیر مختلف جانشانی دارای مقادیر گذردهی الکتریکی حقیقی ۶/۵ تا ۷/۲ و گذردهی الکتریکی موهومی ۰/۱ تا ۰/۲ است. شکل (۴ -ج و د) منحنی‌های مربوط به نفوذپذیری مغناطیسی حقیقی و موهومی نمونه‌ها در بازه‌ی فرکانسی ۱-۱۸ GHz را نشان می‌دهد. همان‌طور که مشهود است در بازه‌ی فرکانسی ۱-۲/۴ GHz مقدار نفوذپذیری مغناطیسی حقیقی مربوط به ترکیب جانشانی شده به ازای x=۱/۲ نسبت به سایر نمونه‌ها بیشتر است در حالی که از فرکانس GHz ۲/۴ نمونه‌ی با شاخص جانشانی x=۲ میزان نفوذپذیری ۰/۵۱ مغناطیسی حقیقی بیشتری دارد و دارای مقدار میانگین است. با توجه به منحنی‌های نفوذپذیری مغناطیسی موهومی (شکل ۴-د) قابل مشاهده است که با افزایش میزان جانشانی، قله منحنی‌های مورداشاره به سمت فرکانس‌های بالاتر انتقال یافته است.



شکل (۳): (الف و ب) گذردگی الکتریکی حقیقی و موهومی، (ج و د) نفوذپذیری مغناطیسی حقیقی و موهومی ترکیب  $Ba_3Co_{2-x}Zn_xFe_{24}O_{41}$  با ازا مقادیر مختلف جاشانی.

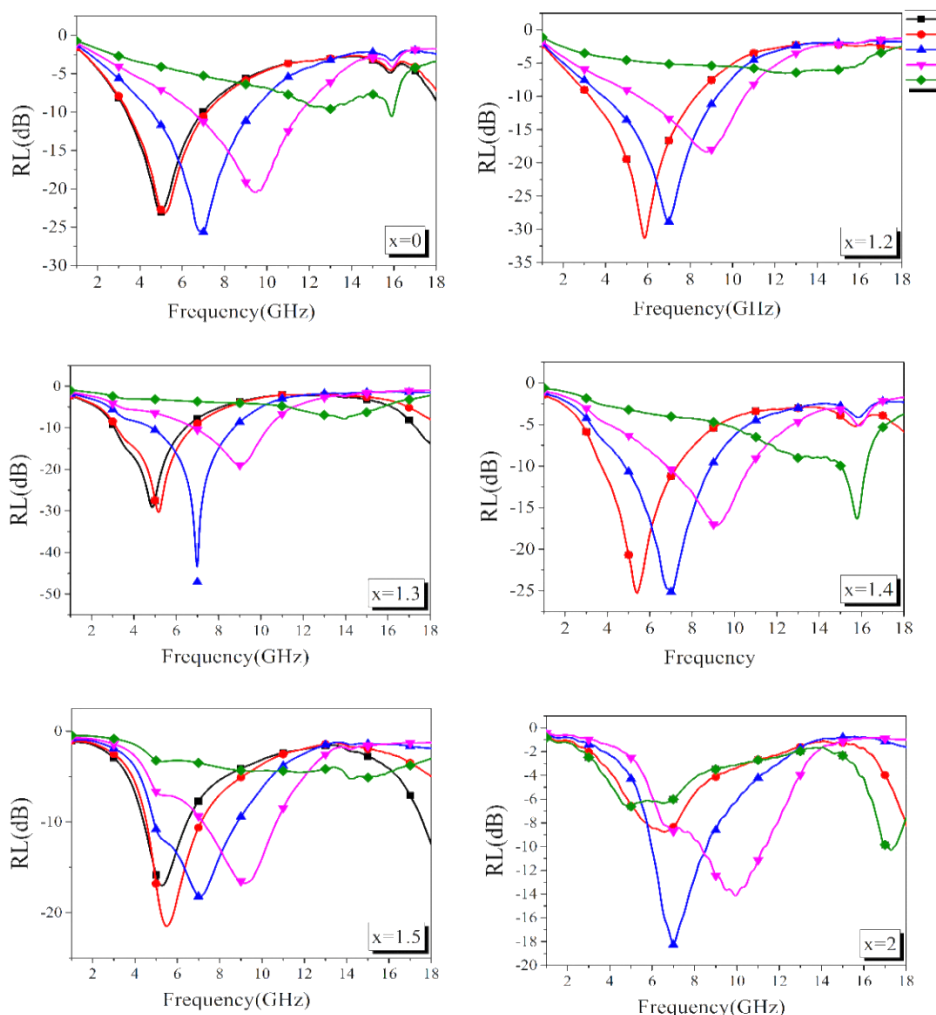
باند در نظر گرفته شده است. شکل (۷-۴) منحنی های تلفات انعکاسی بهینه ترکیب  $Ba_3Co_{2-x}Zn_xFe_{24}O_{41}$  به ازا  $x$  های مختلف را در باندهای فرکانسی  $S: 1\text{-}2 \text{ GHz}$ ،  $S: 1\text{-}2 \text{ GHz}$ ،  $X: 12\text{-}18 \text{ GHz}$ ،  $C1: 8\text{-}12 \text{ GHz}$ ،  $C2: 4\text{-}8 \text{ GHz}$ ،  $Ku: 12\text{-}18 \text{ GHz}$  نشان می دهد. در این منحنی ها با تغییر ضخامت لایه های جاذب و انتخاب ضخامت بهینه به منظور جذب بیشتر در هر کدام از باندهای فرکانسی موردنظر، منحنی تلفات انعکاسی بهینه رسم شده است. در جدول (۳) مقادیر ضخامت های بهینه ارائه شده است. منظور از ضخامت بهینه کمترین ضخامتی است که به ازا آن بیشترین پهنای باند جذب بر مبنای تلفات انعکاسی کمتر از  $-10 \text{ dB}$  و حداقل ضخامت لایه جاذب  $5 \text{ میلی متر}$  در یک بازه های فرکانسی مشخص حاصل می شود که در اینجا توسط کدنویسی در نرم افزار Matlab محاسبه شده است.

بر اساس نظریه های خط گذار، از منحنی های تلفات انعکاسی (RL) به عنوان معیاری از خواص جذب مایکروویو بر حسب فرکانس استفاده می شود که فرمول مربوطه به صورت زیر بیان می شود:

$$R_L = -20 \log \frac{|Z_{in} - 1|}{|Z_{in} + 1|} \quad (3)$$

$$Z_{in} = \sqrt{\frac{\mu' - j\mu''}{\epsilon' - j\epsilon'' - j\sigma/(\omega\epsilon_0)}} \times \tanh \left[ j \frac{2\pi}{c} \sqrt{(\mu' - j\mu'')(\epsilon' - j\epsilon'' - j\sigma/(\omega\epsilon_0))} fd \right] \quad (4)$$

که در این روابط  $Z_{in}$  امپدانس ورودی یک لایه های جاذب،  $\epsilon'$ ،  $\epsilon''$ ،  $\mu'$ ،  $\mu''$  به ترتیب گذردگی الکتریکی و نفوذپذیری مغناطیسی حقیقی و موهومی،  $c$  سرعت امواج الکترومغناطیسی در خلاء،  $f$  فرکانس موج برخوردی و  $d$  ضخامت لایه های جاذب است [ $20$ ]. مقادیر  $-10 \text{ dB}$  و  $-20 \text{ dB}$  تلفات انعکاسی به ترتیب به معنی میزان جذب و اتلاف و  $90^\circ$  درصد انرژی موج برخوردی است. بازه های فرکانسی شامل مقادیر تلفات انعکاسی  $-10 \text{ dB}$  و کمتر از آن، به عنوان پهنای



شکل (۴): نمودارهای RL نمونه‌های مختلف بر اساس بهترین میزان جذب به ازا ضخامت بهینه.

نمونه‌ی با  $x=1/2$  به میزان  $RL=-32$  dB در باند C2 مربوط به نمونه‌ی با  $x=1/3$  و مقدار  $RL=-45$  dB در باند X مربوط به نمونه‌ی  $x=0$  و مقدار  $RL=-21$  dB در باند Ku به ازا  $x=1/4$  و میزان  $RL=-17$  dB رخ داده است. که درمجموع با توجه به نتایج فوق مشخص می‌شود بیشترین شدت جذب مربوط به نمونه  $x=1/3$  در بازه فرکانسی ۴ تا ۸ گیگاهرتز بوده است.

#### ۴- جمع‌بندی

در این پژوهش، ذرات هگزافریت نوع Z به صورت ترکیب  $Ba_3Co_{2-x}Zn_xFe_{24}O_{41}$  سنت شدند. الگوی XRD مربوطه حاکی از تشکیل فاز این هگزافریت در دمای کلیستیناسیون  $1270^{\circ}\text{C}$  است. بر اساس منحنی‌های پسماند نمونه‌ها مشاهده گردید که با انجام جانشانی مقدار مغناطیش اشباع تا مقدار ۸۴ emu/g برای

جدول (۳): ضخامت‌های مربوط به بهینه ترین منحنی RL هر نمونه در بازه‌های فرکانسی مختلف از لحاظ شدت و پهنای باند.

| باند    | باند S<br>(mm) | باند C1<br>(mm) | باند C2<br>(mm) | باند X<br>(mm) | باند Ku<br>(mm) |
|---------|----------------|-----------------|-----------------|----------------|-----------------|
| $x=0$   | ۵              | ۴/۴             | ۳/۷             | ۲/۹            | ۲/۱             |
| $x=1/2$ | ۵              | ۴/۹             | ۴/۲             | ۳/۶            | ۵               |
| $x=1/3$ | ۵              | ۴/۸             | ۳/۹             | ۳/۲            | ۲/۱             |
| $x=1/4$ | ۵              | ۴/۶             | ۳/۸             | ۳/۲            | ۵               |
| $x=1/5$ | ۵              | ۴/۶             | ۳/۹             | ۳/۲            | ۲/۱             |
| $x=2$   | ۵              | ۴/۵             | ۳/۶             | ۲/۸            | ۵               |

با توجه به این منحنی‌ها مشاهده می‌شود در تمامی باندها بیشترین میزان جذب از لحاظ پهنای باند مربوط به نمونه‌ی با  $x=1/2$  است. مقادیر مربوطه در جدول ۳ ذکر شده است. از طرفی با بررسی منحنی‌ها در باندهای مختلف بهترین عملکرد جذب مایکروویو (منفی ترین RL) در باند S و C1 مربوط به

- [8] Z. W. Li and Z. H. Yang, "Effect of Ti substitution on dynamic and static magnetic properties for  $\text{Ba}_3\text{Co}_2\text{Fe}_{24-x}\text{Ti}_x\text{O}_{41}$  hexaferrites", *Journal of Magnetism and Magnetic Materials*, Vol. 334, pp. 5–10, 2013.
- [9] H. Zhang, J. Zhou, Y. Wang, L. Li, Z. Yue & Z. Gui, "The effect of Zn ion substitution on electromagnetic properties of low-temperature fired Z-type hexaferrite", *Ceramics International*, Vol. 28, No. 8, pp. 917–923, 2002.
- [10] C. Mu, Y. Liu, Y. Song, L. Wang & H. Zhang, "Improvement of high-frequency characteristics of Z-type hexaferrite by dysprosium doping", *Journal of applied physics*, Vol. 109, No. 12, p. 123925, 2011.
- [11] H. Zhang, J. Zhou, Y. Wang, L. Li, Z. Yue & Z. Gui, "The effect of Zn ion substitution on electromagnetic properties of low-temperature fired Z-type hexaferrite", *Ceramics International*, Vol. 28, No. 8, pp. 917–923, 2002.
- [12] C. H. Mu, Y. L. Liu, H. W. Zhang, Y. Q. Song, Q. Y. Wen & J. Shen, "Influence of MgTiO<sub>3</sub> on the magnetic and dielectric properties of  $\text{Ba}_3\text{Co}_2\text{Fe}_{24}\text{O}_{41}$  hexaferrite", *Journal of Applied Physics*, Vol. 107, No. 9, 2010.
- [13] C. H. Rhee, K. L. Cho & C. S. Kim, "Heat-treatment effect on Z-type hexaferrite for RF device application", *Journal of the Korean Physical Society*, Vol. 66, No. 1, pp. 96–99, 2015.
- [14] X. Zhang, Z. Yue, S. Meng, B. Peng & L. Yuan, "Magnetic and electrical properties of Z-type hexaferrites sintered in different atmospheres", *Materials Research Bulletin*, Vol. 65, pp. 238–242, 2015.
- [15] Z. Zheng, Q. Feng & V. G. Harris, "Low-loss Z-type barium hexaferrite composites from nanoscale  $\text{ZnAl}_2\text{O}_4$  addition for high-frequency applications", *AIP Advances*, Vol. 8, No. 5, 2018.
- [16] Z. W. Li, L. Guoqing, N.-L. Di, Z.-H. Cheng & C. K. Ong, "Mössbauer spectra of CoZn-substituted Z-type barium ferrite  $\text{Ba}_3\text{Co}_{2-x}\text{Zn}_x\text{Fe}_{24}\text{O}_{41}$ ", *Physical Review B*, Vol. 72, No. 10, p. 104420, 2005.
- [17] Z. W. Li, L. Guoqing, L. Chen, W. Yuping & C. K. Ong, " $\text{Co}^{2+}$   $\text{Ti}^{4+}$  substituted Z-type barium ferrite with enhanced imaginary permeability and resonance frequency", *Journal of Applied Physics*, Vol. 99, No. 6, p. 63905, 2006.

ترکیب  $\text{Ba}_3\text{Co}_{0.8}\text{Zn}_{1.2}\text{Fe}_{24}\text{O}_{41}$  افزایش یافته است. با بررسی منحنی های تلفات انعکاسی مشخص گردید که بیشترین مقدار جذب در نمونه ای به ضخامت ۳/۹ میلیمتر به ازا  $x=1/3$  در محدوده باند C2 و به میزان ۴۷ dB در فرکانس مرکزی ۷ GHz اتفاق افتاده است.

## ۵- مراجع

- [۱] م. جزیره‌پور و م. ح. شمس، "ستز و مشخصه یابی نانو میله‌های  $\text{Fe}_2\text{O}_3/\text{BaFe}_{12}\text{O}_{19}$  بررسی خواص مغناطیسی آنها"، فرآیندهای نوین در مهندسی مواد، دوره ۱۱، شماره ۱، ص ۱۳۹-۱۴۸. ۱۳۹۶.
- [۲] م. نصر اصفهانی، "تأثیر ابعاد ذرات بر روی خواص جذبی امواج رادار در کامپوزیت‌های نانو ساختار فریت نوع Z/پلیمر"، فرآیندهای نوین در مهندسی مواد، دوره ۷، شماره ۱، ص ۸۱-۸۶. ۱۳۹۲.
- [۳] J. Shen, K. Chen, L. Li, Y. Ding, J. Li & W. Kong, "Fabrication of Z-type barium ferrite/silica composites with enhanced microwave absorption", *Science China Technological Sciences*, Vol. 57, No. 9, pp. 1858–1864, 2014.
- [۴] T. Kikuchi, T. Nakamura, T. Yamasaki, M. Nakanishi, T. Fujii, J. Takada & Y. Ikeda, "Magnetic properties and high frequency response of single-phase Z-type strontium cobalt hexaferrite prepared by polymerizable complex method", *Advances in Science and Technology*, Vol. 67, pp. 104–107, 2010.
- [۵] Z. W. Li, Y. P. Wu, G. Q. Lin & L. Chen, "Static and dynamic magnetic properties of CoZn substituted Z-type barium ferrite  $\text{Ba}_3\text{Co}_x\text{Zn}_{2-x}\text{Fe}_{24}\text{O}_{41}$  composites", *Journal of Magnetism and Magnetic Materials*, Vol. 310, No. 1, pp. 145–151, 2007.
- [۶] T. Nakamura and E. Hankui, "Control of high-frequency permeability in polycrystalline (Ba, Co)-Z-type hexagonal ferrite", *Journal of Magnetism and Magnetic Materials*, Vol. 257, No. 2, pp. 158–164, 2003.
- [۷] M. M. Rashad, H. M. El-Sayed, M. Rasly, A. A. Sattar & I. A. Ibrahim, "Magnetic and dielectric properties of polycrystalline La doped barium Z-type hexaferrite for hyper-frequency applications", *Journal of Materials Science: Materials in Electronics*, Vol. 24, No. 1, pp. 282–289, 2013.

- submicron-sized  $\text{SrFe}_{12-x}\text{Al}_x\text{O}_{19}$  with very high coercivity, Journal of Magnetism and Magnetic Materials, Vol. 320, No. 6, pp. 1068–1072, 2008.
- [20] J. Huo, L. Wang & H. Yu, “Polymeric nanocomposites for electromagnetic wave absorption”, Journal of Materials Science, Vol. 44, No. 15, pp. 3917–3927, 2009.
- [18] M. Jazirehpour, M. H. Shams & O. Khani, “Modified sol-gel synthesis of nanosized magnesium titanium substituted barium hexaferrite and investigation of the effect of high substitution levels on the magnetic properties”, Journal of Alloys and Compounds, Vol. 545, pp. 32–40, 2012.
- [19] P. E. Kazin, L. A. Trusov, D. D. Zaitsev, Y. D. Tretyakov & M. Jansen, Formation of

# Investigation of Electromagnetic Properties and Microwave Absorption of Z-Type HexFerrite with Zinc Substitution

**Zenat Mirzaei<sup>1</sup>, Mohammad Jazirehpour<sup>\*2</sup>, Ahmad Pourbaferani<sup>3</sup>**

1- Master student, Nanoscience and Technology (Nanophysics), Malek Ashtar University of Technology.

2- Assistant professor, Department of Electroceramics and Electrical Engineering Malek Ashtar University of Technology.

3- Researcher, Department of Electroceramics and Electrical Engineering Malek Ashtar University of Technology.

*\*Jazirehpour@mut-es.ac.ir*

## **Abstract**

In this research, the effect of different substitution quantities of zinc cations on electromagnetic and microwave absorption properties of Z-type barium hexaferrite with chemical composition of  $\text{Ba}_3\text{Co}_{2-x}\text{Zn}_x\text{Fe}_{24}\text{O}_{41}$  ( $x=0, 1.2, 1.3, 1.4, 1.5, 2$ ) generated by high energy milling method was studied. X-ray diffraction (XRD) method was used to verify the formation of Z type Ba-hexaferrite phase in the synthesis conditions. Magnetization properties of different compositions were studied by alternative gradient force magnetometry (AGFM). X-ray diffraction (XRD) method was used to confirm the formation of Z-type Ba-hexaferrite phase. The investigations by AGFM showed that the amount of magnetization increased by substituting the desired composition. So that the amount of magnetization (67 emu/g) for an unsubstituted sample will reach its maximum (84 emu/g) for the sample with composition of  $\text{Ba}_3\text{Co}_{0.8}\text{Zn}_{1.2}\text{Fe}_{24}\text{O}_{41}$ . In addition, complex permeability and permittivity coefficients of the samples were studied by vector network analyzer (VNA). Using the measured coefficients, reflection loss curves were plotted. The results of the reflection loss (RL) plots showed that, on average, the maximum absorption bandwidth occurred among the samples at a frequency range of 4-8 GHz. The best absorption (the most negative reflectance loss) was observed at -47 dB and at a frequency of 7 GHz for the sample with an index of substitution of  $x=1.3$ .

**Keywords:** Milling, Microwave Absorption, Permeability, Permittivity, Z-Type Hexaferrite.

Journal homepage: [ma.iaumajlesi.ac.ir](http://ma.iaumajlesi.ac.ir)

**Please cite this article using:**

Zenat Mirzaei, Mohammad Jazirehpour, Ahmad Pourbaferani, Investigation of Electromagnetic Properties and Microwave Absorption of Z-Type HexFerrite with Zinc Substitution, New Process in Material Engineering, 2020, 14(3), 61-70.